

DAFTAR PUSTAKA

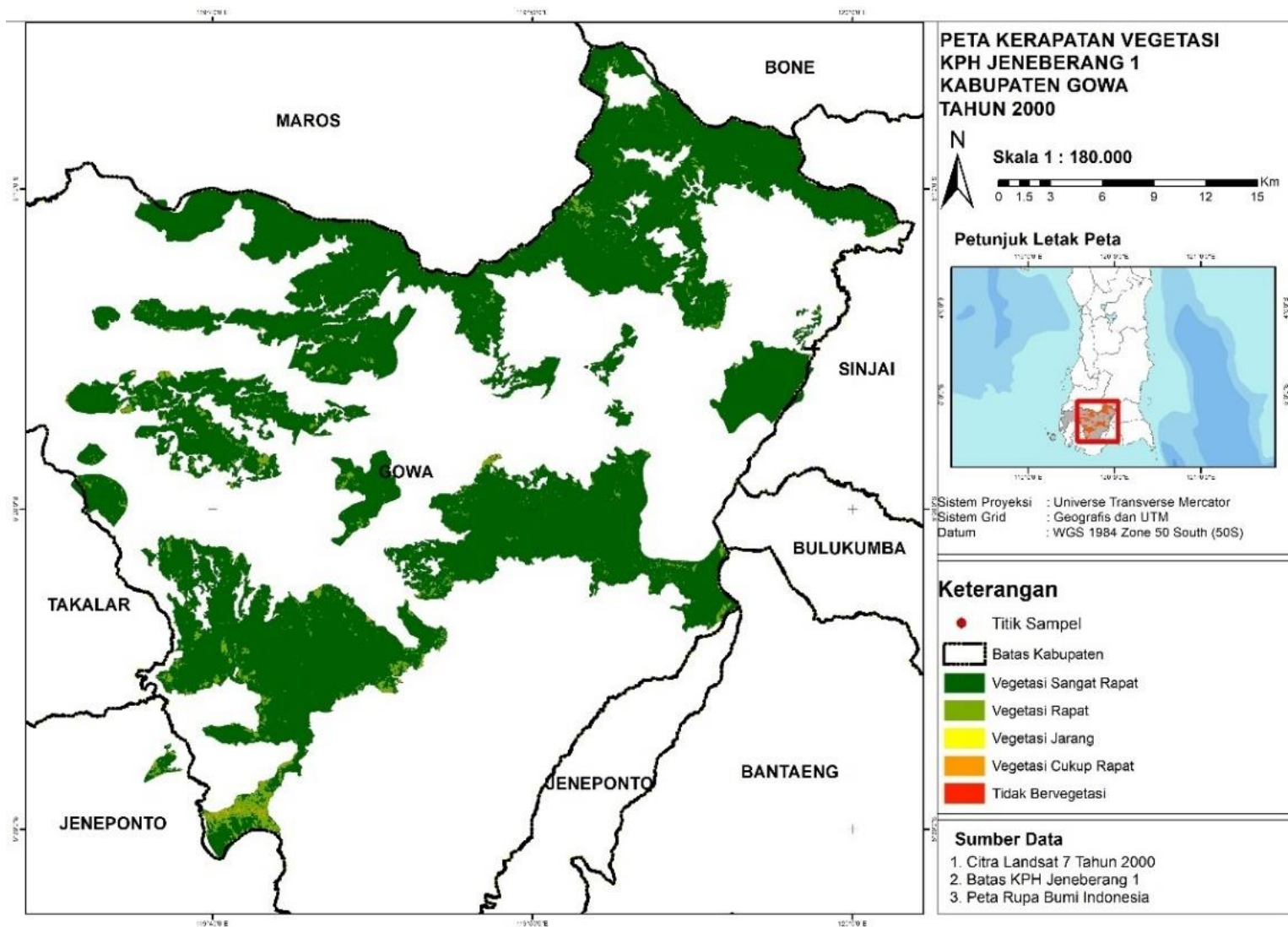
- Ardiansyah. (2017). Universitas Indonesia Universitas Indonesia Jakarta. *Fmipa Ui*, 5–34.
- Arnanto, A. (2021). Pemanfaatan Transformasi Normalized Difference Vegetation Index(Ndvi) Citra Landsat Tm untuk Zonasi Vegetasi di Lereng Merapi Bagian Selatan. *Geomedia: Majalah Ilmiah dan Informasi Kegeografian*, 11(2), 155–170. <https://doi.org/10.21831/gm.v11i2.3448>
- Danoedoro, P. (2019). Pengolahan Citra digital Teori dan Aplikasinya dalam Bidang Penginderaan Jauh. *Analysis*, 1–44.
- Dasuka, Y. P., Sasmito, B. & Hani'ah. (2016). Analisis sebaran jenis vegetasi hutan alami menggunakan sistem penginderaan jauh. *Jur.Geodesi Undip*, 5(2), 1–8.
- Hardianto, A., Dewi, P. U., Feriansyah, T., Sari, N. F. S., & Rifiana, N. S. (2021). Pemanfaatan Citra Landsat 8 Dalam Mengidentifikasi Nilai Indeks Kerapatan Vegetasi (NDVI) Tahun 2013 dan 2019 (Area Studi: Kota Bandar Lampung). *Jurnal Geosains Dan Remote Sensing*, 2(1), 8–15. <https://doi.org/10.23960/jgrs.2021.v2i1.38>
- Humam, A., Hidayat, M., Nurrochman, A., Anestesi, A. I., Yuliantina, A., & Aji, S. P. (2020). Identifikasi Daerah Kerawanan Kebakaran Hutan dan Lahan menggunakan Sistem Informasi Geografis dan Penginderaan Jauh di Kawasan Tanjung jabung Barat Provinsi Jambi. *Jurnal Geosains dan Remote Sensing*, 1 (1), 32-42.
- Irawan, S., & Malau, A. O. (2016). Analisis Persebaran Mangrove di Pulau Batam Menggunakan Teknologi Penginderaan Jauh. *Jurnal Integrasi*, 8(2), 80–87.
- Iskandar, M., Sanjoto, T. B., & Sutardji. (2019). Analisis Kerapatan Vegetasi menggunakan Teknik Penginderaan Jauh Sebagai Basis Evaluasi Kerusakan Hutan Di Taman Nasional Gunung Gede Pangrango. *Geo-Image*, 1(1). <https://doi.org/10.15294/geoimage.v1i1.953>
- Kementrian Kehutanan. (2018). *Rencana Pengelolaan Hutan Jangka Panjang (RPHJP) Kesatuan Pengelolaan Hutan Lindung Bila. 14.*
- Maryantika, N., Jaelani, L. M., & Setiyoko, A. (2011). *Analisa perubahan vegetasi ditinjau dari tingkat ketinggian dan kemiringan lahan menggunakan citra satelit landasat dan spot 4 (studi status Kabupaten Pasuruan). 4.*
- Mtd, E. A., Hutan, D. M., Kehutanan, F., & Utara, U. S. (2019). *Analisis kelas*

kerapatan vegetasi di kecamatan medan kota.

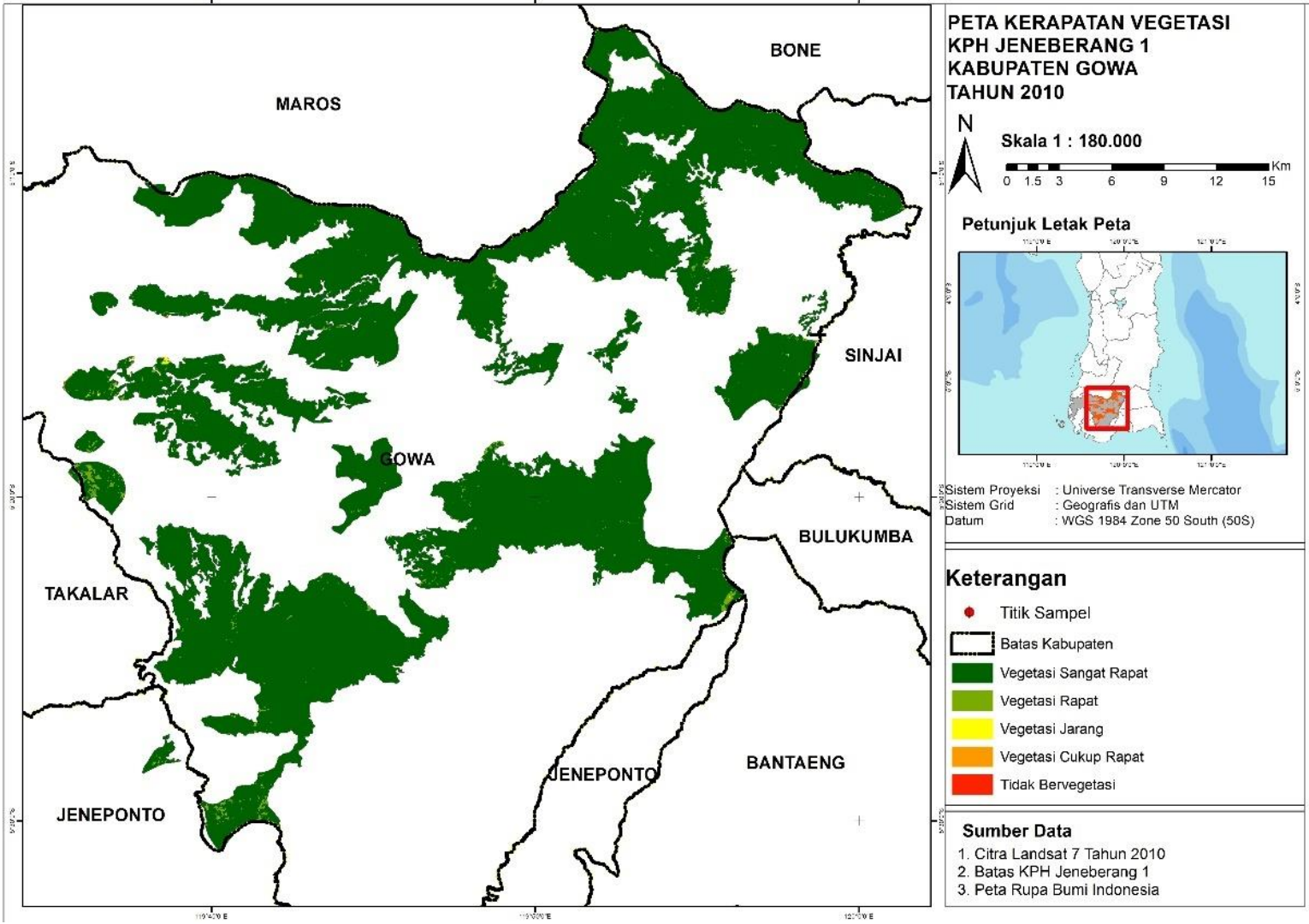
- Purwadhi, S. H., & Sanjoto, T. B. (2017). Pengantar Interpretasi Citra Penginderaan Jauh. In *Lembaga Penerbangan dan Antariksa Nasional dan Universitas Negeri Semarang* (pp. 1–101). https://geoedu224.files.wordpress.com/2018/08/1_pengantar-interpretasi-citra-penginderaan-jauh.pdf
- Purwanto, A. (2016). Pemanfaatan Citra Landsat 8 Untuk Identifikasi Normalized Difference Vegetation Index (NDVI) di Kecamatan Silat Hilir Kabupaten Kapuas Hulu. *Edukasi*, 13(1), 27–36.
- Raharja, B., Setianto, A., & Titisari, A. D. (2019). Aplikasi Principle Component Analysis dan Directed Principal Component untuk Pemetaan Alterasi Hidrotermal menggunakan Citra ASTER di Kecamatan Kokap, Kulon Progo. *Jurnal Geologi dan Sumberdaya Mineral*, 20(3), 119-131.
- Ruhimat, I. S. (2018). *Hutan (KPH) di Kabupaten Banjar (Implementation Effectiness of For. Management Unit Policy in Banjar District)*. 2, 169–178.
- Suryandari, E. Y., & Alviya, I. (2019). Implementasi dan Strategi Pembangunan Kesatuan Pengelolaan Hutan Banjar. *Jurnal Analisis Kebijakan Kehutanan*, 6(1), 57–70. <http://ejournal.forda-mof.org/ejournal-litbang/index.php/JAKK/article/view/341>
- Susilowati, I., & Nurini. (2017). Konsep Pengembangan Ruang Terbuka Hijau (RTH) pada Permukiman Kepadatan Tinggi. *Jurnal Pembangunan Wilayah Dan Kota*, 9(4), 429–438.
- Suwargana, N. (2019). Analisis Perubahan Hutan Mangrove Menggunakan Data Penginderaan Jauh di Pantai Bahagia, Muara Gembong, Bekasi. *Jurnal Penginderaan Jauh*, 5, 64–74.
- Syah, A. F. (2020). Penginderaan Jauh dan Aplikasinya di Wilayah Pesisir dan Lautan. *Kelautan*, 3(1), 18–28. https://journal.trunojoyo.ac.id/jurnal_kelautan/article/view/838/737
- Wass, H. J. D., & Nababan, B. (2019). *Pemetaan dan analisis index vegetasi mangrove di pulau saparua, maluku tengah*. 2(1), 50–58.
- Winarti, & Rahmad, R. (2019). *Analisis Sebaran dan Kerapatan Vegetasi Menggunakan Citra Landsat 8 di Kabupaten Dairi, Sumatera Utara*. Winarti. 1, 105–112.

LAMPIRAN

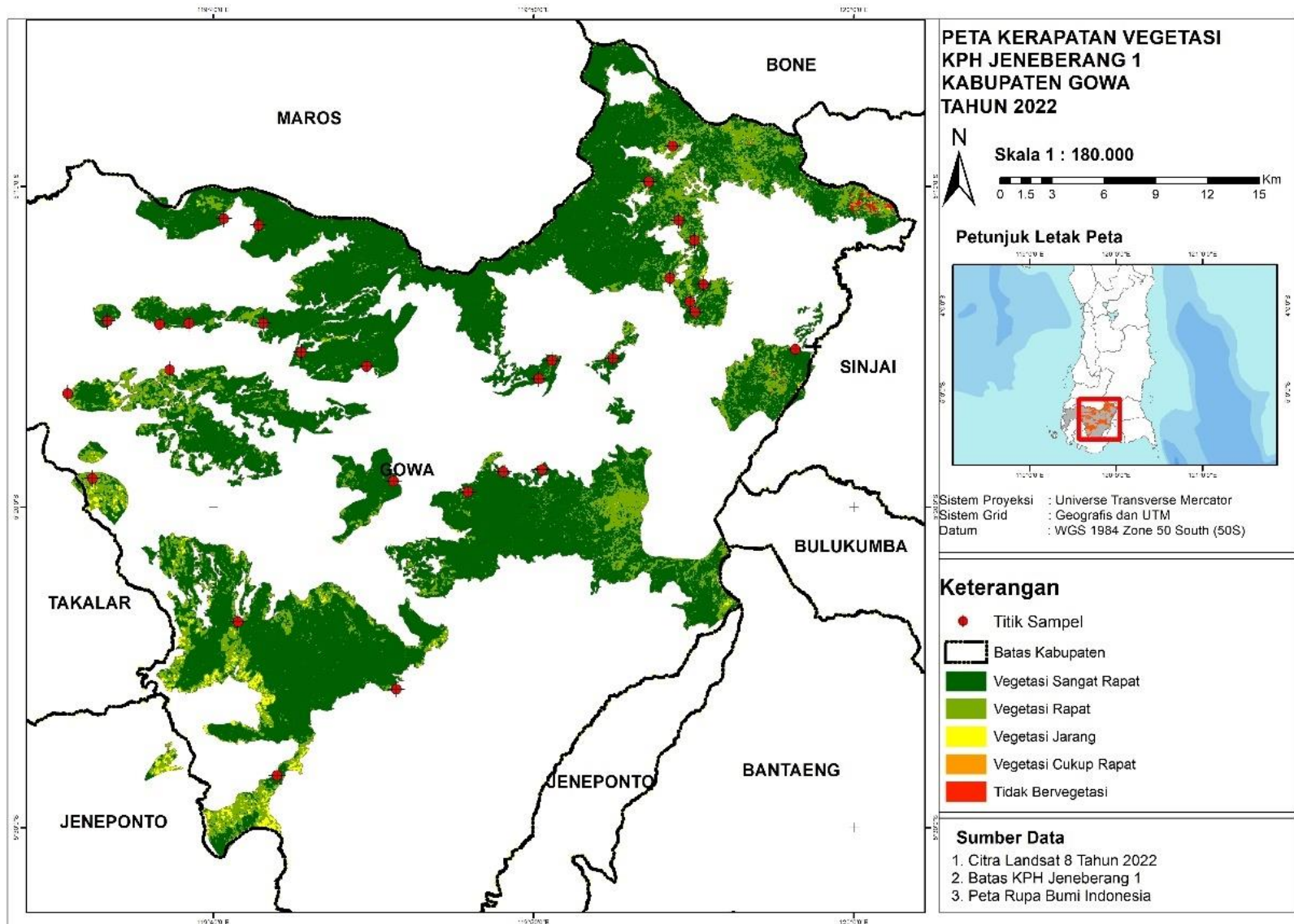
Lampiran 1. Peta NDVI Tahun 2000



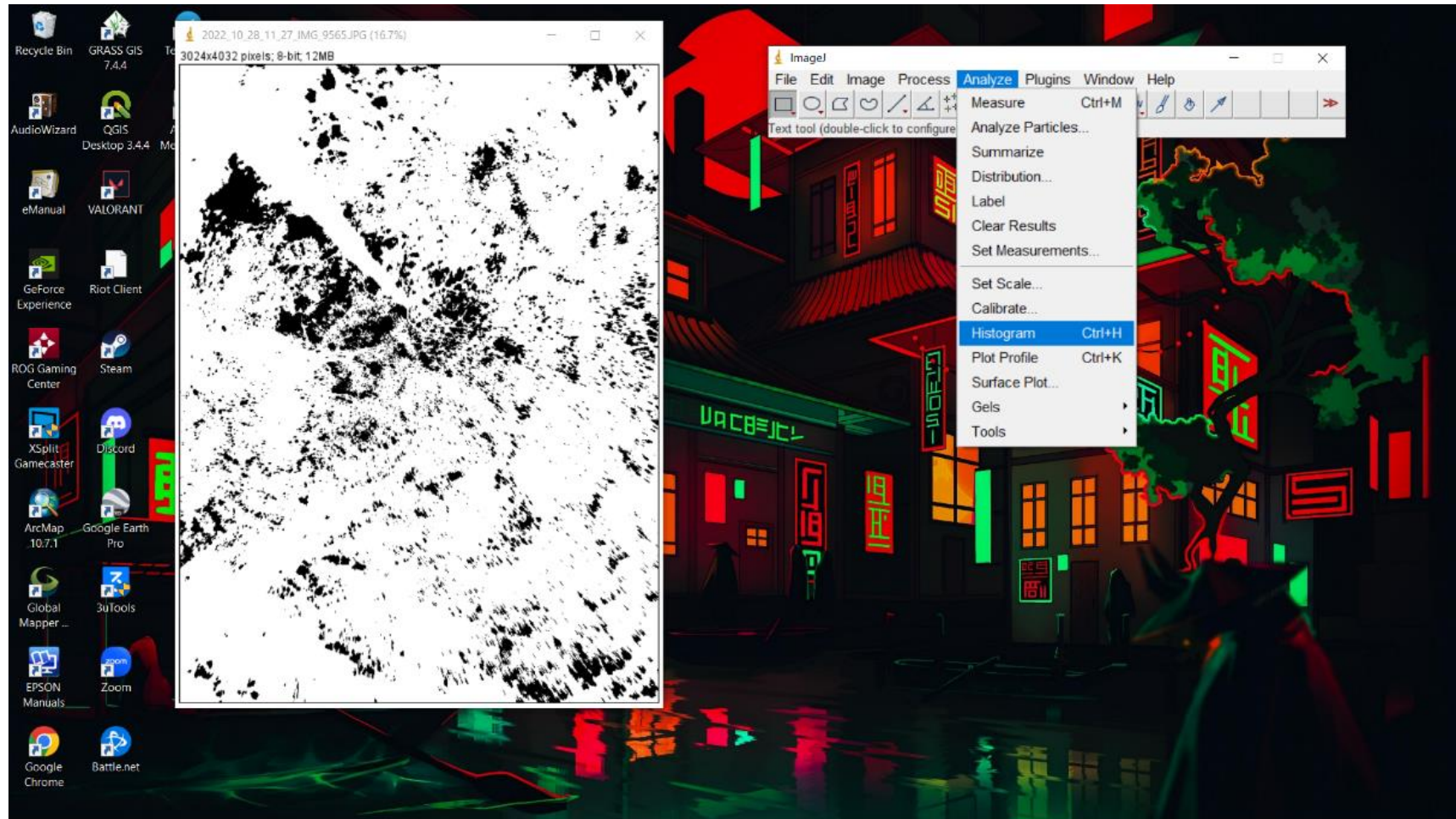
Lampiran 2. Peta NDVI Tahun 2010

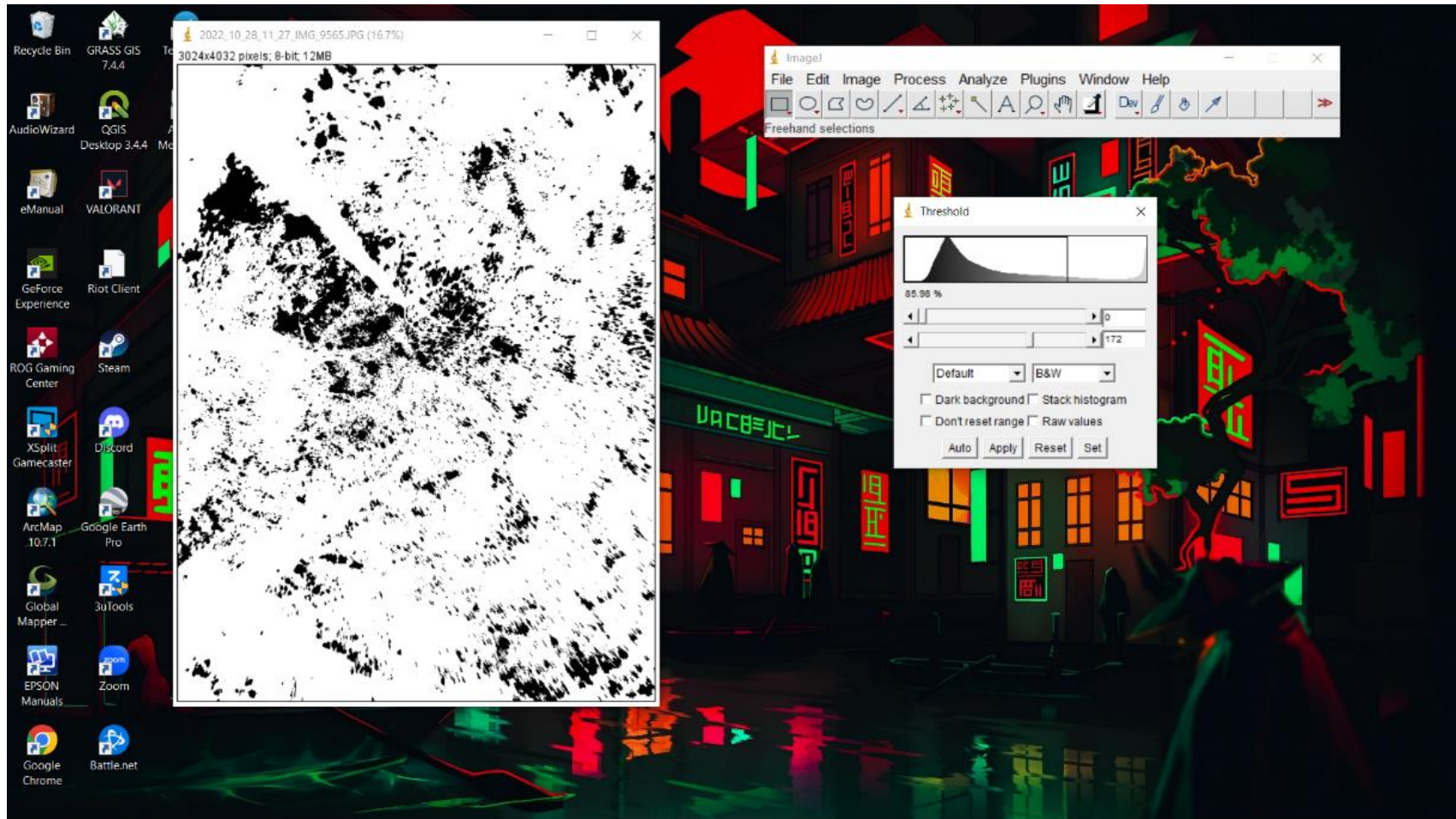


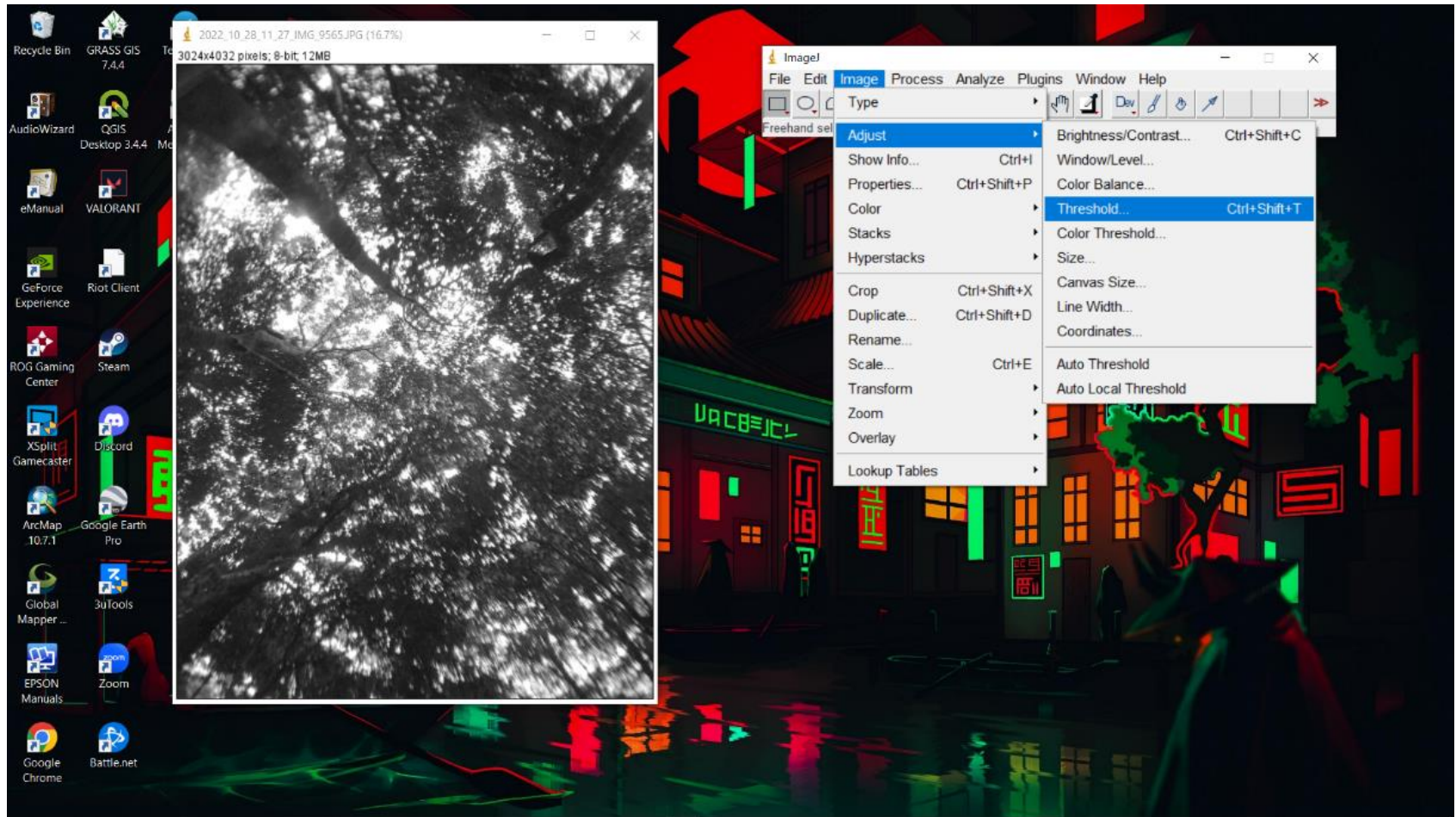
Lampiran 3. Peta NDVI Tahun 2022

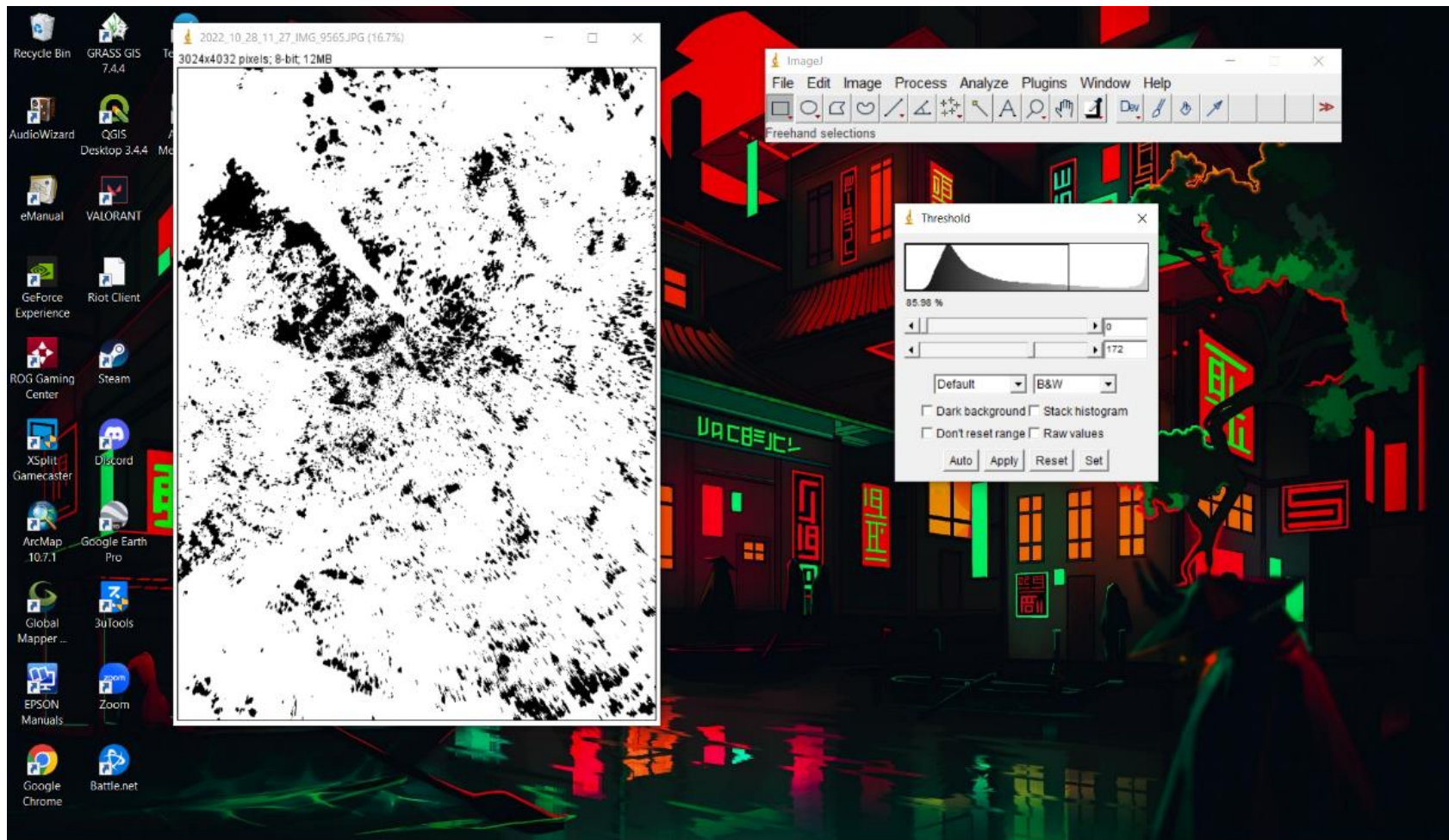


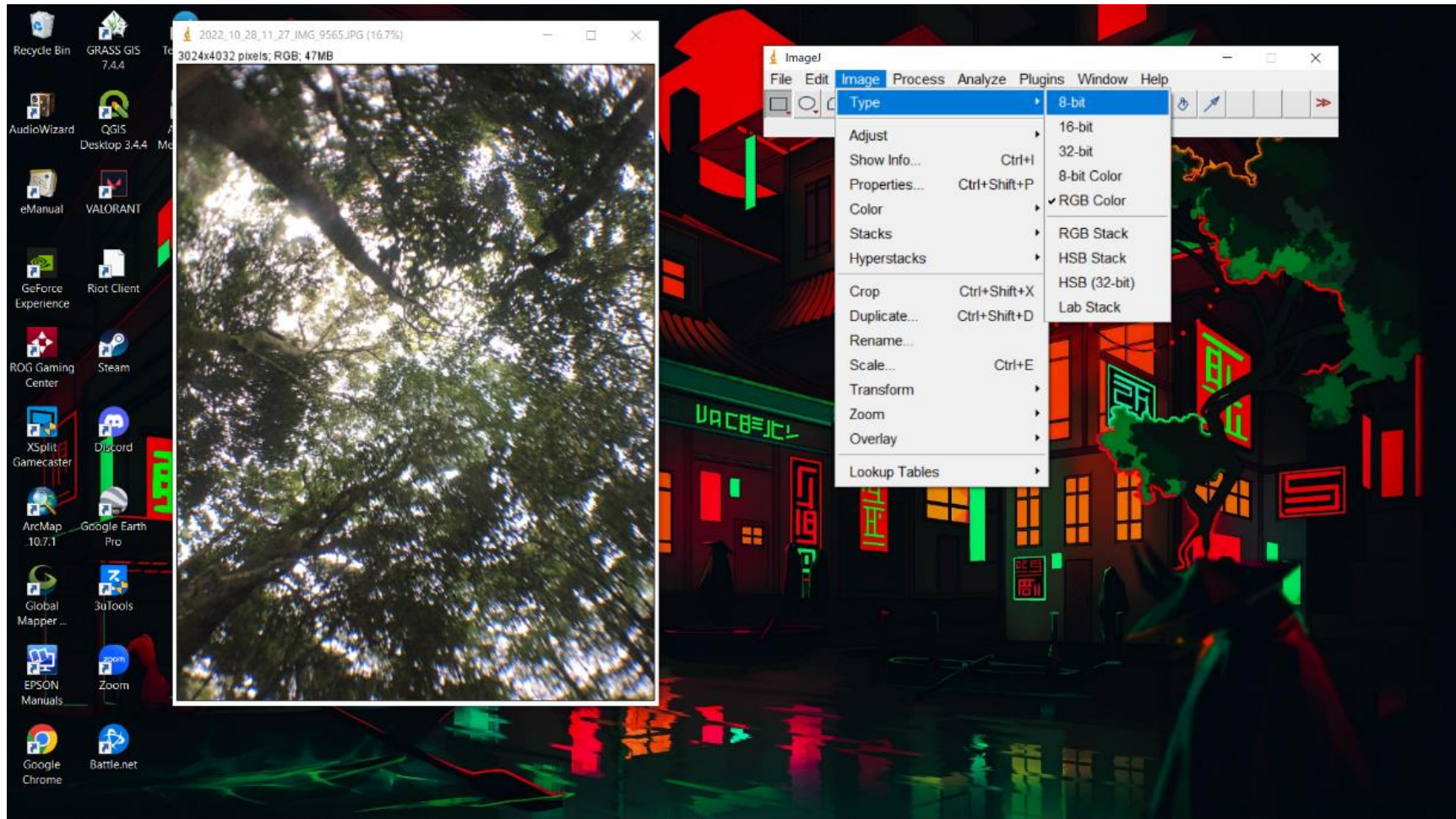
Lampiran 4. Pengolahan data lapangan kerapatan tajuk

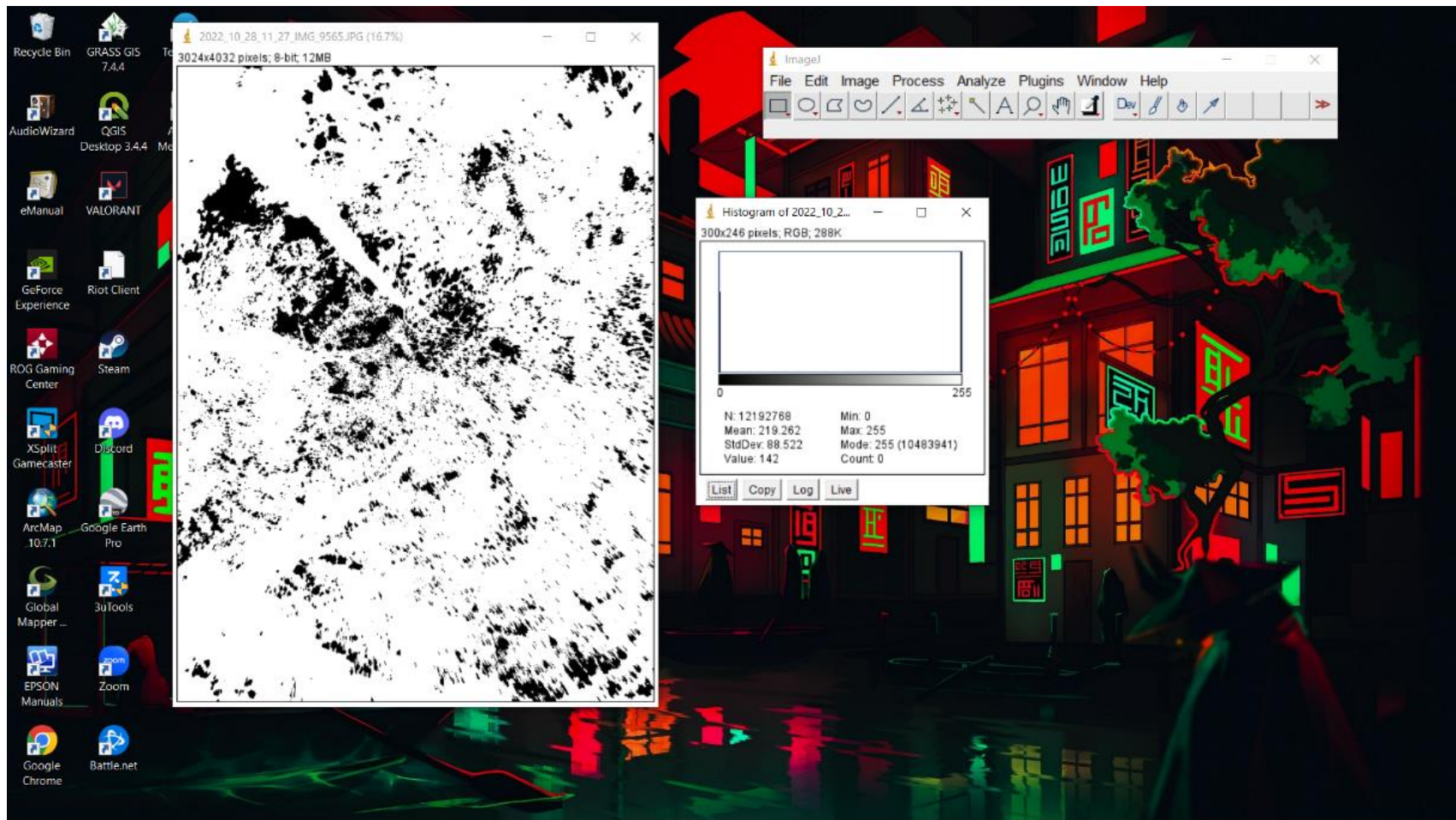












Lampiran 5. Hasil pengolahan data kerapatan tajuk

Kelas	Pixel Canopy	Pixel Total	% Canopy	Rata-Rata	NDVI
5	1041756	1228800	84.77832031	82.12910156	0,885
	1054787	1228800	85.83878581		
	899631	1228800	73.2121582		
	1045677	1228800	85.09741211		
	1004161	1228800	81.71883138		
5	1528875	1920000	79.62890625	81.67388542	0,870
	1568168	1920000	81.67541667		
	1675585	1920000	87.27005208		
	1529543	1920000	79.66369792		
	1538522	1920000	80.13135417		
5	1581383	1920000	82.36369792	81.4805	0,835
	1579087	1920000	82.24411458		
	1556903	1920000	81.08869792		
	1584078	1920000	82.5040625		
	1520677	1920000	79.20192708		
5	1569501	1920000	81.74484375	81.5465208	0,841
	1577772	1920000	82.175625		
	1592992	1920000	82.96833333		
	1539708	1920000	80.193125		
	1548496	1920000	80.65083333		
5	9578250	12192768	78.55681335	82.59902755	0,869
	10962894	12192768	89.91308618		
	9970700	12192768	81.77552464		

Kelas	Pixel Canopy	Pixel Total	% Canopy	Rata-Rata	NDVI
	10011012	12192768	82.10614686		
	9832683	12192768	80.64356674		
5	10250576	12192768	84.07095091	82.45676125	0,868
	9894207	12192768	81.14816094		
	9967892	12192768	81.75249459		
	10579447	12192768	86.76821375		
	9576686	12192768	78.54398607		
5	9942313	12192768	81.5427063	81.26235322	0,865
	9935200	12192768	81.48436844		
	10061613	12192768	82.52115516		
	9809156	12192768	80.4506081		
	9792369	12192768	80.31292812		
5	10196557	12192768	83.62790959	82.78459821	0,863
	9874878	12192768	80.98963254		
	9941452	12192768	81.53564474		
	10205182	12192768	83.69864825		
	10250601	12192768	84.07115595		
4	9735332	12192768	79.84513443	78.78952015	0,812
	9359283	12192768	76.7609373		
	9765605	12192768	80.09342095		
	9677928	12192768	79.37433075		
	9494969	12192768	77.87377731		
4	9217842	12192768	75.60089719	73.45500874	0,808
	9597859	12192768	78.71763819		

Kelas	Pixel Canopy	Pixel Total	% Canopy	Rata-Rata	NDVI
	9223296	12192768	75.64562862		
	8530852	12192768	69.96649161		
	8211145	12192768	67.34438808		
4	7181215	12192768	58.8973316	59.69641348	0,732
	8521778	12192768	69.89207045		
	7017655	12192768	57.55588067		
	6327118	12192768	51.89238408		
	7345460	12192768	60.24440062		
4	8246740	12192768	67.63632343	60.06198592	0,753
	6972653	12192768	57.18679302		
	7350074	12192768	60.28224272		
	7404906	12192768	60.73195192		
	6641720	12192768	54.47261852		
4	7132104	12192768	58.49454365	59.94103062	0,733
	8301553	12192768	68.08587681		
	7157984	12192768	58.70680062		
	7471786	12192768	61.2804738		
	6478927	12192768	53.1374582		
5	10115263	12192768	82.9611701	81.29684252	0,868
	9814505	12192768	80.49447837		
	9971368	12192768	81.7810033		
	9298762	12192768	76.26456929		
	10361779	12192768	84.98299156		
4	8972973	12192768	73.59258373	61.07431225	0,753

Kelas	Pixel Canopy	Pixel Total	% Canopy	Rata-Rata	NDVI
	6835798	12192768	56.06436537		
	6774277	12192768	55.55979577		
	7486453	12192768	61.40076642		
	7163745	12192768	58.75404994		
4	7842840	12192768	64.32370402	65.26839845	0,793
	7345972	12192768	60.24859983		
	7193078	12192768	58.99462698		
	8078465	12192768	66.25620204		
	9329767	12192768	76.51885938		
4	7883743	12192768	64.65917337	61.71146863	0,753
	7655080	12192768	62.78377478		
	7130139	12192768	58.47842754		
	7408653	12192768	60.76268326		
	7544066	12192768	61.87328423		
5	10255828	12192768	84.11402563	82.50122696	0,881
	10363454	12192768	84.99672921		
	9695557	12192768	79.51891646		
	10386631	12192768	85.1868173		
	9594446	12192768	78.68964619		
5	10124412	12192768	83.03620638	81.54677757	0,870
	9582863	12192768	78.59464725		
	9788884	12192768	80.28434561		
	9834374	12192768	80.65743562		
	10383514	12192768	85.16125297		

Kelas	Pixel Canopy	Pixel Total	% Canopy	Rata-Rata	NDVI
5	10290945	12192768	84.40204062	81.19187702	0,877
	10156491	12192768	83.29930497		
	9697982	12192768	79.5388053		
	9383407	12192768	76.95879229		
	9968861	12192768	81.76044193		
5	10121213	12192768	83.00996952	82.71856235	0,885
	9983336	12192768	81.87915984		
	10321599	12192768	84.65345195		
	10183969	12192768	83.52466807		
	9818295	12192768	80.52556237		
5	10313631	12192768	84.58810173	82.48073448	0,874
	10385576	12192768	85.17816463		
	10090690	12192768	82.7596326		
	9665148	12192768	79.26951452		
	9828378	12192768	80.60825893		
5	10362507	12192768	84.98896231	80.22241217	0,863
	9579839	12192768	78.56984567		
	9762879	12192768	80.07106344		
	8988715	12192768	73.72169306		
	10212723	12192768	83.76049639		
5	9695825	12192768	79.52111448	80.55112506	0,850
	9958705	12192768	81.67714665		
	9783984	12192768	80.24415785		
	10381117	12192768	85.14159377		

Kelas	Pixel Canopy	Pixel Total	% Canopy	Rata-Rata	NDVI
	9287428	12192768	76.17161255		
5	10407803	12192768	85.36046122	80.03726471	0,865
	9582338	12192768	78.59034142		
	9995295	12192768	81.97724258		
	9810635	12192768	80.46273824		
	8997719	12192768	73.79554011		
5	10141546	12192768	83.17673231	80.54169652	0,868
	9572582	12192768	78.51032678		
	9278154	12192768	76.09555107		
	9863713	12192768	80.89806187		
	10245316	12192768	84.02781058		
5	10300166	12192768	84.47766742	80.23939109	0,817
	9133230	12192768	74.90694484		
	9939693	12192768	81.52121815		
	9895875	12192768	81.16184118		
	9648050	12192768	79.12928385		
3	9711288	12192768	79.64793556	62.20632427	0,572
	6416187	12192768	52.62289088		
	6234937	12192768	51.13635394		
	7166965	12192768	58.78045904		
	8393987	12192768	68.84398194		
2	LADANG				0,269

Kelas	Pixel Canopy	Pixel Total	% Canopy	Rata-Rata	NDVI
1			TUBUH AIR		-0.205